

# I-62 六角形孔を有する板の孔縁応力

九州大学 工学部 正員 山崎 徳也  
 ク 応用力学研究所 熊井 豊二  
 ク 大学院 学生員 ○後藤恵之輔

1.序 土木構造物に多用されている、ウェブに六角形の孔を並べた、いわゆるキャステーラード・ビームを二次元弹性問題として取扱ったものには、著者等の解釈<sup>1)</sup>と村上氏等の実験<sup>2)</sup>以外に未だ報告あるを知らざり。著者等はさらにちもれて面内荷重にて引張力および曲げモーメントをも加味した理論解を行なつた。

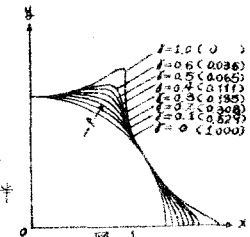
私形には文献2)より正六角形が最も望ましいことが判明したが、厳密に取扱い難いので練習よみ隣接孔の影響も無視し、かつ多少凹凸のある、隅を円めた近似六角形孔を有する無限板を対象とし、種々の面内荷重を受けるときの孔縁応力を計算し、隅角部の円滑の影響について吟味した。

2.近似六角形の式 直角座標の原点を中心とし、一切が半軸に直交するような近似六角形は次のごとく表わされる。

$$\begin{aligned} x &= \alpha(\beta e^{\theta} \cos \theta + \delta e^{5\theta} \cos 5\theta) \\ y &= \alpha(\beta e^{\theta} \sin \theta - \delta e^{5\theta} \sin 5\theta) \end{aligned} \quad (1)$$

ここに  $\alpha$ : 長さの倍率を有する孔の大きさを定める任意の正数  
 $\beta$ :  $-\pi \leq \theta \leq \pi$   
 $\delta$ : 孔の円滑度を支配する正数  $0 \leq \delta \leq 1$

本論文において取扱う六角形孔には上式において  $\delta=0$  とおいたものを用い、 $\alpha$  の種々の値に対してその形状を図示すれば 図-1 のごとくで、括弧内の数値は、 $P$  および  $R$  をそれぞれ、隅角部の曲率半径および中心より隅に至る距離として、モーメント  $P/R$  を示す。



3.孔縁応力の一般式 直交曲座標において接線方向の応力は、Airy の応力函数  $\chi$  を用いて次のとくある。

$$\hat{\beta}\beta = \frac{1}{25\alpha^2 J^2} \left\{ \frac{\partial^2 \chi}{\partial x^2} + \frac{1}{2} \left( \frac{\partial x}{\partial \beta} \frac{\partial \beta}{\partial x} - \frac{\partial x}{\partial \beta} \frac{\partial \beta}{\partial x} \right) \right\} \quad (2) \quad \text{ただし}, \quad J = \frac{1}{25\alpha^2} \left( \left( \frac{\partial x}{\partial \beta} \right)^2 + \left( \frac{\partial y}{\partial \beta} \right)^2 \right)$$

Airy の応力函数は基礎方程式  $\nabla^2 \chi = 0$  を満足すべく、この式の本論文に適応する一般解は式(1)を用いて次のごとく求まる。

$$\begin{aligned} \chi &= A_0 \alpha + B_0 \beta + \sum_{n=1}^{\infty} \left[ A_n e^{inx} + B_n e^{iny} \right] \frac{\sin n\theta}{\cos n\theta} \beta + C_n \left[ \frac{1}{2} e^{in\theta} \frac{\partial \chi}{\partial \beta} \right] (n-1)\beta + \frac{1}{2} e^{(n+5)\theta} \frac{\partial \chi}{\partial \beta} (n+5)\beta \\ &\quad + \sum_{n=1}^{\infty} D_n \left[ \frac{1}{2} e^{(n-1)\theta} \frac{\partial \chi}{\partial \beta} \right] (n+1)\beta + \frac{1}{2} e^{(n+5)\theta} \frac{\partial \chi}{\partial \beta} (n-5)\beta + E_1 \beta \left[ \frac{1}{2} e^{in\theta} \cos \beta + \delta e^{5in\theta} \cos 5\beta \right] + F_1 \beta \left[ \delta e^{5in\theta} \sin \beta - \delta e^{5in\theta} \sin 5\beta \right] \end{aligned} \quad (3)$$

ここに  $A_0, B_0, A_n, B_n, C_n, D_n, E_1, F_1$  は未定常数、 $n=1, 2, 3, \dots$  である。

有孔板が一様な引張力、剪断力、曲げモーメントを受けるときの応力函数は一般に次のようにあくことができる。

$\chi = \chi_0 + \chi_1 = \sum_{n=0}^{\infty} f_n(\theta) \frac{\sin n\theta}{\cos n\theta} \beta \quad (4)$  ここで  $\chi_0$  は孔の無い場合の応力函数であり、 $\chi_1$  は  $\chi = \chi_0 + \chi_1$  によって孔縁の境界条件を満足し無限遠で  $\chi_1$  のみを用いた  $\hat{\beta}\beta, \hat{\beta}\beta, \hat{\beta}\beta$  が消失するごとく函数である。

孔縁の境界条件、 $\hat{\beta}\beta = \hat{\beta}\beta = 0$  は式(4)を用いて次式にあき換える。  $\frac{df_n}{d\theta} = 0, f_n = 0, \frac{d^2 f_n}{d\theta^2} = 0 \quad (n=1, 2, 3, \dots) \quad (5)$

式(5)を用ひれば所要の孔縁応力は式(2)より次のとく極めて簡単になる。  $(\hat{\beta}\beta)_{\theta=0} = \frac{1}{25\alpha^2 J} \frac{\partial \chi}{\partial x} \quad (6)$

4.無限遠六角形孔の一辺に平行な方向に一様な引張力  $T$  が働く場合(図-2)

孔の無い場合の応力函数  $\chi_0$  はこの際、次のとくあくことができる。

$$\chi_0 = \frac{T}{2} \beta^2 = \frac{T\alpha^2}{2} \left[ \frac{25}{2} e^{2\theta} + \frac{5}{2} e^{10\theta} - \frac{25}{2} e^{2\theta} \cos 2\beta - 5e^{4\theta} \cos 4\beta + 5e^{8\theta} \cos 8\beta - \frac{1}{2} e^{10\theta} \cos 10\beta \right] \quad (7)$$

$\chi_1$  は  $\theta=\infty$  において  $\frac{\partial \chi_1}{\partial x} \approx 0, \frac{\partial \chi_1}{\partial \beta} \approx 0, \frac{\partial^2 \chi_1}{\partial x^2} \approx 0$  となるよう項を式(3)から選び出せば良い。すなはち式(7)を参照して  $\chi_1 = \frac{T\alpha^2}{2} \left[ (A_0 \alpha + \frac{1}{2} e^{10\theta} D_6) + (B_2 e^{2\theta} + \frac{5}{2} D_4 + \frac{1}{2} e^{8\theta} D_8 + \frac{1}{2} e^{12\theta} D_7) \cos 2\beta + (B_4 e^{4\theta} + \frac{5}{2} e^{6\theta} D_6 + \frac{1}{2} e^{10\theta} D_8) \cos 4\beta + (B_6 e^{6\theta} + \frac{5}{2} e^{10\theta} D_6 + (B_8 e^{8\theta} + \frac{5}{2} e^{12\theta} D_7) \cos 6\beta + (B_{10} e^{10\theta} + \frac{5}{2} e^{12\theta} D_7) \cos 10\beta \right]$  ゆえに式(7)と(8)とを加えて  $\chi = \chi_0 + \chi_1 = \frac{T\alpha^2}{2} \left[ f_0 + f_2 \cos 2\beta + f_4 \cos 4\beta + f_6 \cos 6\beta + f_8 \cos 8\beta + f_{10} \cos 10\beta \right] \quad (8)$

ここに  $f_0, f_2, \dots, f_{10}$  は  $\alpha, \beta$  および未定常数  $A_0, B_2, B_4, \dots, D_4, D_6, \dots$  の函数で、未定常数を境界条件式(5)によって決定し、式(6)より孔縁応力を求あれば次のごとくなる。

$$(\hat{\beta}\beta)_{\theta=0} = T \times \frac{(1-\beta^2)(25-3\beta^2)-10(5-3\beta^2)\cos 2\beta + 20\cos 4\beta}{(1+\beta^2-2\beta\cos 6\beta)(25-3\beta^2)} \quad (6)$$



計算結果を  $\beta$  を横軸にとって図-3(a)に示す。孔縁の最大応力(ひずみは隅角部の刃味の頂点で起るとは限らないが、 $\gamma \geq 0.3$  では頂点に超ると考へてよい)を  $P/R$  に対してプロットすれば図-4(a)のごとく、 $P/R$  が 0.1 より大きい範囲では最大応力は急速に増大し、0.1 より大きくなると、極めて緩慢に減少し、刃のとき( $\delta=0, P/R=1.0$ )には孔の無いときの応力下の 3 倍となる。また、正六角形孔の直線部に相当する  $\beta=30^\circ$  の応力は図-4(b)にみるとく殆んど零と見做しうる。

### 5. 無限遠において一様な剪断力が働く場合(図-5)

本計算は既に發表済みであるが、応力式を示せば次式とする。

$$(P\beta)_{\text{max}} = -20\beta \frac{(5-3\beta)\sin 2\beta + 2\beta \sin 4\beta}{(1+\beta^2-2\beta \cos 6\beta)(25-3\beta)} \quad (11)$$

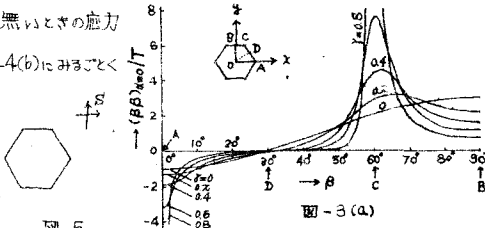


図-3(a)

計算結果は図-3(b)のごとく、最大応力および  $\beta=30^\circ$  の応力を示せば図-4(a)、(b)に示す。最大応力は引張力を受ける場合とほぼ同一化傾向を示すが、直線部に相当する部分の応力は、 $P/R$  が 0 から 1 に、おもち六角形孔が円孔に近づくにつれて、その応力比が約 1 から 3.5 まで増加する。

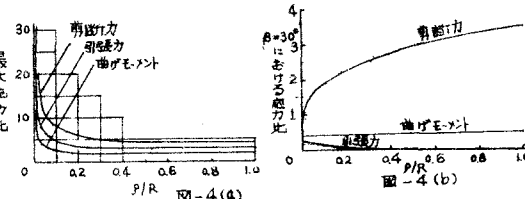


図-4(a)

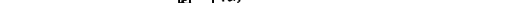


図-4(b)

### 6. Deep Beam の面内に一様な曲げモーメント M が働く場合(図-6)

$$\chi_0 = \frac{M}{6I} y^3 = \frac{Ma^3}{24I} \left[ (375e^{3\beta} + 30e^{2\beta} + e^{3\beta}) \sin 3\beta + (425e^{4\beta} + 15e^{3\beta}) \sin 2\beta + (150e^{5\beta} - 3e^{3\beta}e^{5\beta}) \sin 5\beta + 75(e^{3\beta} \sin 7\beta + 15e^{2\beta}e^{7\beta} \sin 7\beta - 15e^2 \sin 11\beta + e^{3\beta}e^{15\beta} \sin 15\beta) \right] \quad (12)$$

ただし  $I = \text{beam の中立軸に対する断面2次モーメント}$

$\chi_1$  は式(3)より直ちに

$$\chi_1 = \frac{Ma^3}{24I} \left[ (A_1 e^{3\beta} + B_1 e^{2\beta} - \frac{1}{2} e^{3\beta} D_4 + \frac{1}{2} e^{2\beta} D_6) \sin 3\beta + (B_3 e^{3\beta} + (\frac{1}{2} e^{3\beta} - \frac{1}{2} e^{2\beta}) D_2 + \frac{1}{2} e^{3\beta} D_8) \sin 2\beta + (B_5 e^{5\beta} + \frac{1}{2} e^{5\beta} D_4 + \frac{1}{2} e^{5\beta} D_6) \sin 5\beta + (B_7 e^{7\beta} + \frac{1}{2} e^{5\beta} D_6 + \frac{1}{2} e^{7\beta} D_{12}) \sin 7\beta + (B_9 e^{9\beta} + \frac{1}{2} e^{7\beta} D_4) \sin 9\beta + (B_{11} e^{11\beta} + \frac{1}{2} e^{9\beta} D_{12}) \sin 11\beta + (B_{13} e^{13\beta} + \frac{1}{2} e^{11\beta} D_{12}) \sin 13\beta + (B_{15} e^{15\beta} + \frac{1}{2} e^{13\beta} D_4) \sin 15\beta \right] \quad (13)$$

$$\text{ゆえに } \chi = \chi_0 + \chi_1 = \frac{Ma^3}{24I} [F_1 \sin 3\beta + F_2 \sin 5\beta + F_3 \sin 7\beta + F_4 \sin 9\beta + F_5 \sin 11\beta + F_6 \sin 13\beta + F_7 \sin 15\beta] \quad (14)$$

ここで  $F_1, F_2, \dots, F_{15}$  は式(3)より未定常数  $A_1, B_1, B_3, \dots, D_2, D_4, \dots$  の函数で、未定常数を境界条件式(5)によって求め、式(6)より孔縁応力を決定すれば次式となる。

$$(\beta\beta)_{\text{max}} = \frac{Ma}{I} \frac{(5-6\beta^2)(5+2\beta) \sin 3\beta - 25(1+\beta) \sin 7\beta + 8(5+2\beta) \sin 11\beta}{(1+\beta^2-2\beta \cos 6\beta)(5+2\beta)} \quad (15)$$

計算結果は図-3(c)に示すごとくであるが、図中  $(\beta\beta)_{\text{max}}$  は孔の無い板において、中立軸より最も遠い孔縁に相当する部分の応力である。最大応力は図-4(a)にみるとく、一様な引張力を受ける場合とほぼ同じ傾向であるが、直線部に相当する部分( $\beta=30^\circ$ )の応力は、図-4(b)より刃味の大きさに關係なく殆んど同じ値である。

7. 考察 もよび結語 式(1)の近似六角形式を用いるので、孔縁部は曲線となるが、以上の結果から直線部に相当する  $\beta=30^\circ$  の応力は左程大きくない、近似六角形孔の隅角部応力が、正六角形孔の隅に刃味を付した場合の隅角部応力を直ちに表わすと見做して差支えない。したがって、キャステレード・ビームとて半孔の上場合、応力集中を避けた目的で隅角部に半孔を付ける際して、その半径が少くとも中立軸より離れた距離の 0.3 倍位にすれば、半孔を穿いた場合とほぼ同じ効果があると思われるといえる。なお孔が中立軸以外に在る場合には、本論 5, 6 の計算を重ねなければならぬ。

文献 1) 田嶋・篠原: 六角形孔を有する板がせん断力を受けるときの孔縫応力解析前、昭和40年度土木学会西部支部研究発表会論文集  
2) 村上・金田・岸藤: 曲げとせん断力を受ける有孔板の実験的研究、同上

3) 木村: 有孔板に於ける応力に就いて、造船学会報第 42 号 昭和 3 年 4 月

4) 太田: 開を興めた長方形孔を有する板の周辺応力に就いて、造船学会報第 54 号 昭和 9 年 10 月